

УДК 532.526.5

© 1989

ЗУБЦОВ А. В.

АСИМПТОТИЧЕСКАЯ МОДЕЛЬ ОСЕСИММЕТРИЧНОГО РАСПАДА ВИХРЕВОЙ НИТИ В НЕСЖИМАЕМОЙ ЖИДКОСТИ

Рассмотрено осесимметричное течение несжимаемой жидкости. Получено точное решение уравнений Эйлера, соответствующее распаду прямолинейной вихревой нити интенсивности Γ_0 на вихревую нить меньшей интенсивности и коническую вихревую поверхность. Показано, что за точкой распада в области, ограниченной вихревой поверхностью, возникают возвратные течения жидкости. Исследование задачи с учетом вязких эффектов при больших числах Рейнольдса позволило установить связи между свободными параметрами, входящими в решение уравнений Эйлера. Полученные результаты могут оказаться полезными при исследовании задачи о распаде закрученной струи, решению которой в последние годы уделяется большое внимание [1, 2].

1. Введем цилиндрическую систему координат x, r, φ . Через U, V, W обозначим осевую, радиальную и азимутальную составляющие скорости, P — статическое давление. Уравнения Эйлера допускают осесимметричное решение вида

$$U=f_1(r), \quad V=0, \quad W=f_2(r), \quad P=-\int_r^{\infty} \frac{f_2^2 dr}{r} \quad (1.1)$$

где f_1, f_2 — произвольные функции [3].

Рассмотрим такие течения, для которых при $x \rightarrow -\infty$ заданы значение циркуляции азимутальной составляющей скорости и величина продольной составляющей потока импульса

$$\oint rW d\varphi = 2\pi\Gamma_0, \quad 2\pi \int_0^{\infty} (U^2+P)r dr = I_0 \quad (1.2)$$

где Γ_0, I_0 — произвольные постоянные.

Решение (1.1), непрерывное при $r > 0$ и удовлетворяющее условиям (1.2), имеет вид

$$U = \frac{\Gamma_0}{\sqrt{2}r}, \quad V=0, \quad W = \frac{\Gamma_0}{r}, \quad P = -\frac{\Gamma_0^2}{2r^2} \quad (1.3)$$

Решение (1.3) соответствует гидродинамической модели прямолинейной вихревой нити, в которой сосредоточен поток продольного импульса. Вне вихревой нити суммарный поток продольного импульса равен нулю.

Найдем осесимметричное решение уравнений Эйлера, зависящее лишь от одной размерной постоянной Γ_0 и отличное от цилиндрического решения (1.3), но асимптотически совпадающее с ним при $x \rightarrow -\infty$ и $r = \text{const}$.

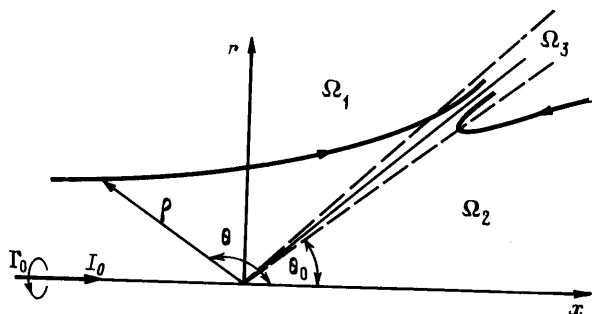
Из теории размерностей следует, что искомое решение должно быть автомодельным. В сферической системе координат ρ, θ, φ функцию тока Ψ , составляющие скорости U_ρ, U_θ, W и величину полной энергии

H представим в виде

$$\Psi = \Gamma_0 \rho F(\theta), \quad u_\rho = \frac{\Gamma_0 F'(\theta)}{\rho \sin \theta}, \quad u_\theta = -\frac{\Gamma_0 F(\theta)}{\rho \sin \theta}$$

$$W = \frac{\Gamma_0 \gamma}{\rho \sin \theta}, \quad H = \frac{\Gamma_0^2 h}{2\Psi^2}$$

где γ , h — свободные безразмерные константы, которые могут принимать различные значения в областях, разделенных поверхностями разрыва.



Фиг. 1

Функция F удовлетворяет нелинейному дифференциальному уравнению и граничным условиям

$$F'' - F' \operatorname{ctg} \theta = -\frac{h \sin^2 \theta}{F^3} \quad (1.4)$$

$$F(0) = F(\pi) = 0 \quad (1.5)$$

Общее решение уравнения (1.4) имеет вид

$$F(\theta) = \pm \sqrt{A - B \cos \theta - D \cos 2\theta} \quad (1.6)$$

где свободные постоянные A , B , D связаны с величиной h

$$8D(D+A) + B^2 = 4h.$$

Легко видеть, что непрерывное решение уравнения (1.4) ($0 < \theta < \pi$), удовлетворяющее граничным условиям (1.5), тождественно совпадает с решением (1.3). Поэтому необходимо потребовать, чтобы коэффициенты, входящие в решение (1.6), имели разрыв хотя бы на одной поверхности, которую обозначим через $\theta = \theta_0$. Для определенности будем считать, что $\theta_0 < \pi/2$, а $\Psi > 0$ при $\pi > \theta > \theta_0$. Через Ω_1 обозначим область течения, где $\pi > \theta > \theta_0$, а через Ω_2 — область, где $\theta_0 > \theta > 0$. Коэффициенты, определяющие решение задачи в областях Ω_1 и Ω_2 , будем обозначать индексами 1 и 2.

Удовлетворяя граничное условие $F(\pi) = 0$ и начальные условия при $x \rightarrow -\infty$ и $r = \text{const}$, получим окончательный вид решения задачи в области Ω_1

$$\Psi = \Gamma_0 \rho \sqrt{\frac{\sin^2 \theta - B_1(1 + \cos \theta)^2}{2}}, \quad W = \frac{\Gamma_0}{\rho \sin \theta}$$

$$P = -\frac{\Gamma_0^2}{2\rho^2 \sin^2 \theta} [1 - B_1(1 + \cos \theta)] \quad (1.7)$$

Из условия, что в решении (1.7) функция, стоящая под корнем в выражении для Ψ , должна быть положительной при $\pi > \theta > \theta_0$, следует ограничение на возможные значения постоянной $B_1 < \operatorname{tg}^2(\theta_0/2)$.

Из граничного условия $F(0) = 0$ следует соотношение $A_2 = B_2 + D_2$. Ре-

шение в области Ω_2 представляется в виде

$$\Psi = -\Gamma_0 \rho \sqrt{2D_2 \sin^2 \theta + B_2(1 - \cos \theta)}, \quad W = \frac{\Gamma_0 \gamma_2}{\rho \sin \theta}$$

$$P = -\frac{\Gamma_0^2}{2\rho^2 \sin^2 \theta} [\gamma_2^2 + B_2(1 - \cos \theta)] \quad (1.8)$$

Решение (1.7), (1.8) можно рассматривать как предельное решение задачи ($\text{Re} = \Gamma_0/\nu \rightarrow \infty$) о распаде вихревой нити с интенсивностью Γ_0 и потоком продольного импульса I_0 . В точке $x=0$ вихревая нить с интенсивностью Γ_0 расщепляется на вихревую нить с интенсивностью $\Gamma_0 \gamma_2$ ($\gamma_2 < 1$) и бесконечно тонкую вихревую коническую поверхность с интенсивностью $\Gamma_0(1 - \gamma_2)$. Поверхность $\theta = \theta_0$, разделяющая области прямого и возвратного течений жидкости (фиг. 1), является поверхностью стоков, интенсивность которых определяется значением функции тока при $|\theta - \theta_0| \rightarrow 0$.

2. Особый характер поведения решения уравнений Эйлера при $\theta \rightarrow \theta_0$ дает основание полагать, что в окрестности конической поверхности $\theta = \theta_0$ возникает тонкий слой смешения двух потоков жидкости (область Ω_3 , фиг. 1), в котором вязкие силы оказывают при $\text{Re} \gg 1$ существенное влияние на характеристики течения. Исследование уравнений движения в слое смешения позволяет получить дополнительные соотношения между свободными коэффициентами θ_0 , γ_2 , B_1 , B_2 , D_2 , входящими в решение (1.7), (1.8) уравнений Эйлера.

Очевидно, что при $x < 0$ и $\text{Re} \gg 1$ вихревая нить с интенсивностью Γ_0 имеет собственную вихревую структуру, сформировавшуюся под влиянием сил вязкости (область Ω_0). Характерный поперечный размер области Ω_0 при $x \rightarrow -0$ обозначим через δ_0 . Естественно считать, что $\delta_0 \rightarrow 0$ при $\text{Re} \rightarrow \infty$. В соответствии с постановкой задачи поток продольного импульса через поперечное сечение области Ω_0 есть величина, равная I_0 . Поэтому порядок величины продольной составляющей скорости и расхода жидкости в области Ω_0 определяется следующим образом: $U \sim \sqrt{I_0}/\delta_0$, $Q \sim \sqrt{I_0}\delta_0$. В точке $x=0$ область Ω_0 расслаивается, часть расхода $\Delta Q \sim Q$ и часть продольного импульса $\Delta I \sim I_0$ уходят в слой смешения.

Расход жидкости, поступающей в слой смешения из внешнего невязкого потока, согласно решению (1.7), (1.8), есть величина порядка $\Gamma_0 \rho \sin \theta_0$. При $\rho \gg \rho_0 \sim \sqrt{I_0}\delta_0/\Gamma_0 \sin \theta_0$ решение задачи в слое смешения будет в первом приближении автомодельным (область Ω_3). При $\rho \gg \rho_0$ решение для функции тока может быть представлено в виде

$$\Psi = \Gamma_0 \rho [\psi_{30}(\theta, \text{Re}, \theta_0) + \Delta(\rho_0/\rho)\psi_{31}(\theta, \text{Re}, \theta_0)] \quad (2.1)$$

где $\Delta(\rho_0/\rho) \rightarrow 0$ при $\rho_0/\rho \rightarrow 0$.

Если учесть, что на характеристики течения в области Ω_3 существенное влияние оказывают силы вязкости, а расход жидкости в области Ω_3 определяется в основном поступлением ее из невязкой области течения, то составляющие скорости и статическое давление, соответствующие первому члену разложения (2.1), можно представить в виде

$$u_\rho = \frac{\Gamma_0}{\rho} \text{Re } u_3(t, \text{Re}, \theta_0), \quad u_\theta = \frac{\Gamma_0}{\rho} v_3(t, \text{Re}, \theta_0)$$

$$W = \frac{\Gamma_0}{\rho \sin \theta_0} w_3(t, \text{Re}, \theta_0), \quad P = \frac{\Gamma_0^2}{2\rho^2 \sin^2 \theta_0} p_3(t, \text{Re}, \theta_0) \quad (2.2)$$

$$t = (\theta - \theta_0) \text{Re}$$

Из уравнений Навье — Стокса следует, что функции u_3 , v_3 , w_3 , p_3 должны удовлетворять системе обыкновенных дифференциальных уравнений

$$u_3'' - v_3 u_3' + u_3^2 + \frac{u_3'}{\text{Re } \text{tg } \theta_0} = O\left(\frac{1}{\text{Re}^2 \sin^2 \theta_0}\right)$$

$$w_3'' - v_3 w_3' + \frac{1}{\operatorname{Re} \operatorname{tg} \theta_0} (w_3' - v_3 w_3) = O\left(\frac{1}{\operatorname{Re}^2 \sin^2 \theta_0}\right) \quad (2.3)$$

$$p_3' = 2 \sin^2 \theta_0 (v_3'' + 2u_3' - v_3 v_3') + \frac{2}{\operatorname{Re} \operatorname{tg} \theta_0} (w_3^2 + v_3' \sin^2 \theta_0) + O\left(\frac{1}{\operatorname{Re}^2 \sin^2 \theta_0}\right)$$

$$u_3 + v_3' + \frac{v_3}{\operatorname{Re} \operatorname{tg} \theta_0} = O\left(\frac{1}{\operatorname{Re}^2 \sin^2 \theta_0}\right)$$

Граничные условия для искомых функций при $t \rightarrow \pm\infty$ можно получить из условия асимптотического сращивания решения (2.2) с решениями в областях Ω_1 и Ω_2 .

Исследование решения уравнений (2.3) необходимо проводить при условии, что $\operatorname{Re} \operatorname{tg} \theta_0 \gg 1$, в противном случае области течения Ω_2 и Ω_3 становятся асимптотически неразличимыми и задача о распаде вихревой нити вырождается в задачу об определении вязкой структуры прямолинейной вихревой нити. Решение уравнений (2.3) представим в виде асимптотического ряда по степеням малого параметра $(\operatorname{Re} \operatorname{tg} \theta_0)^{-1}$

$$u_3 = u_{30} + (\operatorname{Re} \operatorname{tg} \theta_0)^{-1} u_{31} + \dots, \quad v_3 = v_{30} + (\operatorname{Re} \operatorname{tg} \theta_0)^{-1} v_{31} + \dots$$

$$w_3 = w_{30} + (\operatorname{Re} \operatorname{tg} \theta_0)^{-1} w_{31} + \dots, \quad p_3 = p_{30} + (\operatorname{Re} \operatorname{tg} \theta_0)^{-1} p_{31} + \dots \quad (2.4)$$

Главные члены разложения (2.4) определяются из решения системы уравнений

$$u_{30}'' - v_{30} u_{30}' + u_{30}^2 = 0, \quad u_{30} + v_{30}' = 0 \quad (2.5)$$

$$w_{30}'' - v_{30} w_{30}' = 0, \quad p_{30}' = 2 \sin^2 \theta_0 (v_{30}'' + 2u_{30}' - v_{30} v_{30}') \quad (2.6)$$

$$u_{30} \rightarrow 0, \quad v_{30} \rightarrow -\frac{\sqrt{\sin^2 \theta_0 - B_1(1 + \cos \theta_0)^2}}{\sqrt{2} \sin \theta_0}$$

$$w_{30} \rightarrow 1, \quad p_{30} \rightarrow -1 + B_1(1 + \cos \theta_0), \quad t \rightarrow \infty$$

$$u_{30} \rightarrow 0, \quad v_{30} \rightarrow \frac{\sqrt{2D_2 \sin^2 \theta_0 + B_2(1 - \cos \theta_0)}}{\sin \theta_0} \quad (2.7)$$

$$w_{30} \rightarrow \gamma_2, \quad p_{30} \rightarrow -\gamma_2^2 - B_2(1 - \cos \theta_0), \quad t \rightarrow -\infty$$

$$v_{30} = 0, \quad t = 0$$

Из уравнений (2.5) следует, что функция v_{30} удовлетворяет уравнению Риккати

$$v_{30}' - \frac{1}{2} v_{30}^2 = C_1 t - \frac{C_2^2}{2}$$

Из уравнений и граничных условий для функций v_{30} , p_{30} следует, что

$$C_1 = 0, \quad \sin^2 \theta_0 - B_1(1 + \cos \theta_0)^2 = 2[2D_2 \sin^2 \theta_0 + B_2(1 - \cos \theta_0)] \quad (2.8)$$

$$1 - B_1(1 + \cos \theta_0) = \gamma_2^2 + B_2(1 - \cos \theta_0)$$

С учетом соотношений (2.8) решение уравнений (2.5), (2.6), удовлетворяющее граничным условиям (2.7), представляется в виде

$$u_{30} = \frac{2C_2^2 e^\xi}{(1 + e^\xi)^2}, \quad v_{30} = \frac{C_2(1 - e^\xi)}{1 + e^\xi}, \quad w_{30} = \frac{\gamma_2 + e^\xi}{1 + e^\xi}$$

$$p_{30} = -1 + B_1(1 + \cos \theta_0) + 2 \sin^2 \theta_0 \left[u_{30}(\xi) + \frac{1}{2} (v_{30}^2(\infty) - v_{30}^2(\xi)) \right]$$

$$\xi = C_2 t, \quad C_2 = \sqrt{\frac{\sin^2 \theta_0 - B_1(1 + \cos \theta_0)^2}{2 \sin^2 \theta_0}} \quad (2.9)$$

Используя решение (2.9), можно определить поток продольного импульса через поперечное сечение слоя смешения

$$I(\Omega_3) = \frac{1}{\text{Re}} \int_{-\infty}^{\infty} \int_0^{2\pi} u_p^2 \rho^2 \sin \theta_0 dt d\varphi = \frac{4\pi C_2^3}{3} \Gamma_0^2 \text{Re} \sin \theta_0$$

На большом расстоянии $\rho \gg \rho_0$ продольная составляющая скорости u_p в слое смешения определяется в первом приближении величиной потока продольного импульса, источником которого для области Ω_3 является область Ω_0 . При этом расход жидкости, подсосываемой через верхнюю границу слоя смешения ($t \rightarrow +\infty$), равен расходу жидкости, подсосываемой через его нижнюю границу ($t \rightarrow -\infty$), а суммарный поперечный перепад давления обращается в ноль. Таким образом, построение первого приближения для решения в слое смешения при $\rho \gg \rho_0$ позволило получить два соотношения (2.8), связывающих свободные константы, входящие в решение для внешней невязкой области течения.

Построение второго приближения для составляющих скорости u_p , u_θ позволяет учесть влияние потока продольного импульса, поступающего в область Ω_3 через внешние границы слоя смешения. Уравнения для функций u_{31} , v_{31} имеют вид

$$u_{31}'' - v_{30} u_{31}' - v_{31} u_{30}' + 2u_{30} u_{31} + u_{30}' = 0 \quad (2.10)$$

$$u_{31} + v_{31}' + v_{30} = 0 \quad (2.11)$$

$$u_{31} \rightarrow \frac{[\cos \theta_0 + B_1(1 + \cos \theta_0)] \text{tg} \theta_0}{\sqrt{2(\sin^2 \theta_0 - B_1(1 + \cos \theta_0)^2)}}, \quad t \rightarrow +\infty \quad (2.12)$$

$$u_{31} \rightarrow -\frac{(4D_2 \cos \theta_0 + B_2) \text{tg} \theta_0}{2\sqrt{2D_2 \sin^2 \theta_0 + B_2(1 - \cos \theta_0)}}, \quad t \rightarrow -\infty$$

$$v_{31} = 0, \quad t = 0$$

Из (2.10), (2.11) следует уравнение для определения функции v_{31}

$$\frac{dv_{31}}{d\xi} - \frac{1 - e^\xi}{1 + e^\xi} v_{31} = \beta_0 + \beta_1 \xi + \frac{2}{1 + e^\xi} \quad (2.13)$$

Общее решение уравнения (2.13) имеет вид

$$v_{31} = \frac{e^\xi}{(1 + e^\xi)^2} [\beta_2 + (\beta_0 + \beta_1 \xi)(e^\xi - e^{-\xi} + 2\xi) - \beta_1(e^\xi + e^{-\xi} + \xi^2) + 2(\xi - e^{-\xi})] \quad (2.14)$$

где β_0 , β_1 , β_2 — свободные константы.

Из (2.11), (2.13) следует асимптотический предел для функции u_{31} при $\xi \rightarrow \pm\infty$

$$u_{31} \rightarrow \pm C_2(1 - \beta_1), \quad \xi \rightarrow \pm\infty \quad (2.15)$$

Из граничных условий (2.12) и соотношений (2.15) следует условие, связывающее свободные константы, входящие в решение, справедливое во внешней невязкой области течения

$$\cos \theta_0 + B_1(1 + \cos \theta_0) = 4D_2 \cos \theta_0 + B_2 \quad (2.16)$$

Из уравнений (2.8), (2.16) можно найти зависимость коэффициентов B_1 , B_2 , D_2 от γ_2 и θ_0

$$4D_2 = \gamma_2^2 - \frac{1 - \gamma_2^2}{2} \text{ctg}^2 \frac{\theta_0}{2}, \quad B_1 = \frac{1 - \gamma_2^2}{2} \text{tg}^2 \frac{\theta_0}{2}, \quad B_2 = \frac{1 - \gamma_2^2}{2} \text{ctg}^2 \frac{\theta_0}{2} \quad (2.17)$$

С учетом зависимостей (2.17) решение задачи в областях Ω_1 и Ω_2 представляется в виде, зависящем от двух параметров θ_0 и γ_2

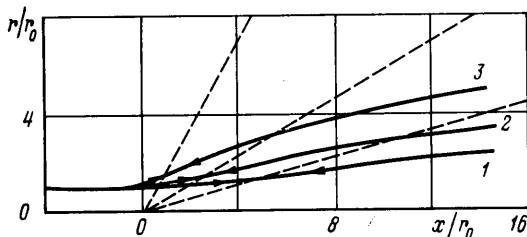
$$\Psi = \frac{\Gamma_0 \rho}{\sqrt{2}} \sqrt{\sin^2 \theta - \frac{1-\gamma_2^2}{2} \operatorname{tg}^2 \frac{\theta_0}{2} (1+\cos \theta)^2}, \quad W = \frac{\Gamma_0}{\rho \sin \theta}$$

$$P = -\frac{\Gamma_0^2}{2\rho^2 \sin^2 \theta} \left[1 + \frac{\gamma_2^2 - 1}{2} \operatorname{tg}^2 \frac{\theta_0}{2} (1+\cos \theta) \right], \quad \pi > \theta > \theta_0$$

$$\Psi = -\frac{\Gamma_0 \rho}{\sqrt{2}} \sqrt{\gamma_2^2 \sin^2 \theta + \frac{1-\gamma_2^2}{2} \operatorname{ctg}^2 \frac{\theta_0}{2} (1-\cos \theta)^2}, \quad W = \frac{\Gamma_0 \gamma_2}{\rho \sin \theta}$$

$$P = -\frac{\Gamma_0^2}{2\rho^2 \sin^2 \theta} \left[\gamma_2^2 + \frac{1-\gamma_2^2}{2} \operatorname{ctg}^2 \frac{\theta_0}{2} (1-\cos \theta) \right], \quad \theta_0 > \theta > 0$$

Уравнение поверхности тока $\Psi(\rho, \theta) = \text{const} = \pm \Psi_0$ удобно предста-



Фиг. 2

вить в переменных r, θ

$$\frac{r}{r_0} = \frac{\Gamma_0 \rho \sin \theta}{\sqrt{2} \Psi}, \quad \theta_0 < \theta < \pi; \quad \frac{r}{r_0} = -\frac{\Gamma_0 \rho \sin \theta}{\sqrt{2} \Psi}, \quad \theta_0 > \theta > 0$$

где $r_0 = \sqrt{2} \Psi_0 / \Gamma_0$ — расстояние поверхности тока от оси симметрии при $\theta \rightarrow \pi$. Образующие поверхности тока для случая $\gamma_2 = 0$ и $\theta_0 = 15, 30, 60^\circ$ представлены на фиг. 2 (кривые 1, 2, 3).

Отношение квадрата интенсивности вихревой нити к величине потока продольного импульса через область Ω_3 связано с параметрами γ_2, θ_0 , Re соотношением

$$\frac{\Gamma_0^2}{I(\Omega_3)} = \frac{6}{\pi(1+\gamma_2^2)^{3/2}} \frac{1}{\operatorname{Re} \sin \theta_0} \quad (2.18)$$

Так как $I(\Omega_3)$ является величиной порядка I_0 , то из соотношения (2.18) следует, что распад вихревой нити ($\operatorname{Re} \sin \theta_0 \gg 1$) при больших числах Рейнольдса может возникать, когда относительная интенсивность вихревой нити мала, $\Gamma_0^2 / I_0 \ll 1$. Для определения механизма распада вихревой нити и зависимости $\theta_0 = \theta_0(\operatorname{Re})$ при $\operatorname{Re} \rightarrow \infty$ необходимо дальнейшее исследование локальной картины течения жидкости на продольных масштабах порядка и меньше ρ_0 .

ЛИТЕРАТУРА

1. Лейбович С. Распад вихря. // Механика. Новое в зарубежной науке. М.: Мир, 1979. Вып. 21. С. 160–196.
2. Hall M. G. Vortex breakdown // Ann. Rev. Fluid Mech. Palo Alto Calif., 1972. V. 4. P. 195–218.
3. Бэтчелор Дж. Введение в динамику жидкости: Пер. с англ. М.: Мир, 1973. 758 с.

Москва

Поступила в редакцию
11.1.1988